

ДОДАТОК А

Графічний матеріал кваліфікаційної роботи

Харківський національний університет радіоелектроніки
Кафедра ЕОМ

МЕТОД ВИЯВЛЕННЯ АНОМАЛІЙ В АВТОМАТИЗОВАНІЙ СИСТЕМІ ЛОКАЛІЗАЦІЇ ТРАНСПОРТНОГО ЗАСОБУ

КВАЛІФІКАЦІЙНА РОБОТА
ДРУГИЙ (МАГІСТЕРСЬКИЙ) РІВЕНЬ



Автор:

Харахайчук І.А.,
студ. гр. СПм-23-3

Керівник:

Торба А.А.,
проф. каф. ЕОМ

МЕТА І ЗАДАЧІ РОБОТИ

Мета кваліфікаційної роботи:

- розробка методу виявлення аномалій в автоматизованій системі локалізації транспортного засобу.

Задачі:

- огляд проблеми локалізації транспортних засобів (основні технології локалізації транспортних засобів; проблеми та обмеження основних технологій локалізації транспортних засобів)
- аналіз методів виявлення аномалій в локалізації транспортних засобів, огляд сучасних досліджень;
- аналіз методів розпізнавання аномалій;
- розробка нового методу, побудова моделі виявлення аномалій;
- експериментальні дослідження.

ОСНОВНІ ФАКТОРИ, ЩО ВПЛИВАЮТЬ НА ЯКІСТЬ ЛОКАЛІЗАЦІЇ ТРАНСПОРТНИХ ЗАСОБІВ

Фактор	Приклад впливу	Джерело
Міське середовище	Затінення супутникового сигналу будівлями, «каньйони»	[1], [5]
Погодні умови	Дощ, сніг, туман впливають на LiDAR, камери	[6]
Множинні траєкторії	Щільний трафік, близьке розташування інших ТЗ	[2]
Сенсорні збої	Дрейф IMU, шум у GPS	[3], [7]
Кіберзагрози	GPS spoofing, атаківані V2X-повідомлення	[8], [9]
Мережеві затримки	Запізнення/втрата V2X-даних	[4], [9]

3

ТЕХНОЛОГІЇ ЛОКАЛІЗАЦІЇ ТРАНСПОРТНИХ ЗАСОБІВ ТА ПРОБЛЕМИ ЗАСТОСУВАННЯ

- Технології:
 - Глобальні навігаційні супутникові системи
 - Інерціальні вимірювальні одиниці (IMU)
 - LiDAR, радар, ультразвукові сенсори
 - Камери та комп'ютерний зір
 - V2X-комунікації та мережеві підходи
- Проблеми:
 - Вразливість до глушіння та спуфінгу сигналів GPS/GNSS
 - Накопичення помилок у IMU
 - Вплив погодних умов та перешкод на LiDAR, камери, радари
 - Неточності та затримки V2X-комунікацій

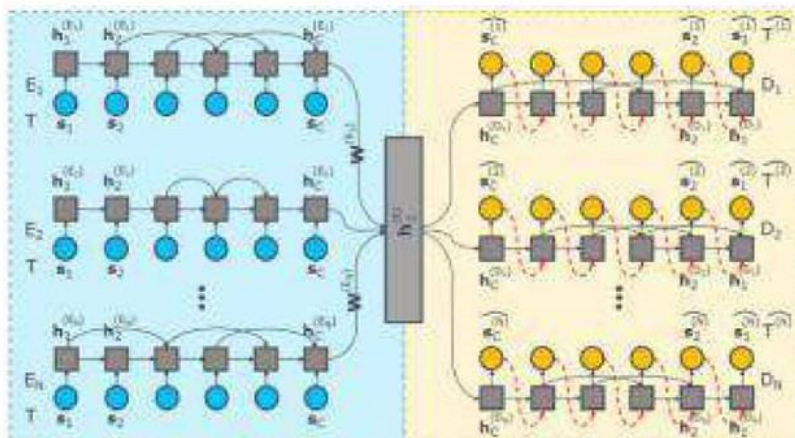
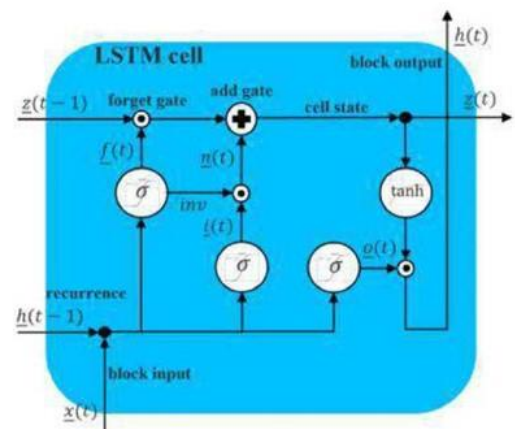
4

ОСНОВНІ ТИПИ КІБЕРНАПАДІВ У СЕРЕДОВИЩІ САУ

- атаки на рівні застосунків у V2V-комунікації, наприклад, підробка повідомлень, атака на відключення та атака-відповідь;
- атаки на рівні мережі у V2I-комунікації, наприклад, підміна, атака відмови у наданні послуг і радіоглушіння;
- атаки, що здійснюються шляхом фізичного доступу до самих транспортних засобів.

5

АРХІТЕКТУРА LSTM



6

ВИПРОБУВАЛЬНА ТРАСА ДЛЯ ПОЛЬОВИХ ЕКСПЕРИМЕНТІВ

Джерело даних: **CARMA**s.

Кожна траєкторія **CAV** містить чотири ознаки, що реєструються кожні 0,5 с:

- швидкість **CAV**;
- прискорення **CAV**;
- середня швидкість не-**CAV** у тій самій автоколоні;
- кут повороту рульового колеса **CAV**.



7

ЕМУЛЯЦІЯ КІБЕРАТАК

Типи атак:

- атака шляхом ін'єкції хибних даних через шину **CAN** або систему бортової діагностики (**OBD**) → може впливати на вимірювання швидкості та прискорення;
- зловмисник із дійсними обліковими даними може змінювати показники сенсорів за допомогою глушіння або підміни **GPS** → призводить до появи аномалій;
- акустична ін'єкція → може порушувати цілісність сенсора прискорення, викликаючи додаткові збої.

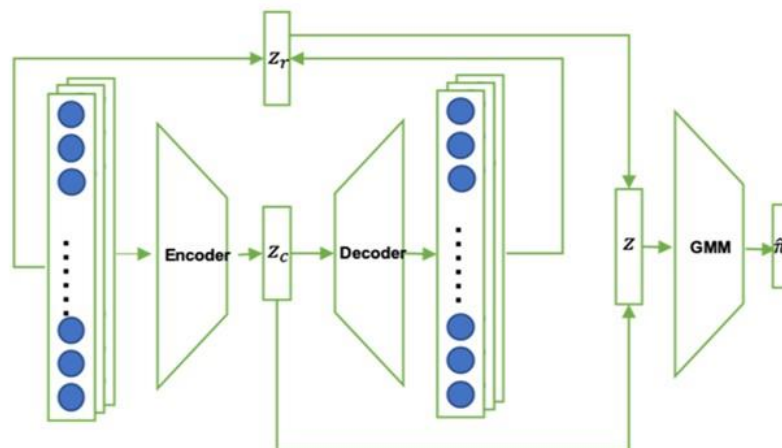
8

ЕМУЛЯЦІЯ КІБЕРАТАК

- **Сценарій 1:** короточасна аномалія. Різка зміна у даних траєкторії САУ. Для імітації використовувалася випадкова гаусівська змінна із середнім нуль і дисперсією 0,001.
- **Сценарій 2:** шум. Довготривала зміна у варіативності даних траєкторії. Моделювалася як незалежна і однаково розподілена послідовність випадкових гаусівських змінних із середнім нуль, довжиною 1 та дисперсією σ .
- **Сценарій 3:** зсув (**bias**). Відхилення від справжніх показників сенсора. Моделювалася як тимчасове зміщення від нормальних значень, величина якого визначалася випадковою величиною з рівномірного розподілу.
- **Сценарій 4:** поступовий дрейф. Повільна і стійка зміна даних у часі. Аномалія моделювалася додаванням лінійно зростаючих значень до базових. Аномалія моделювалася на різні інтервали часу.

9

ПОБУДОВА МОДЕЛІ

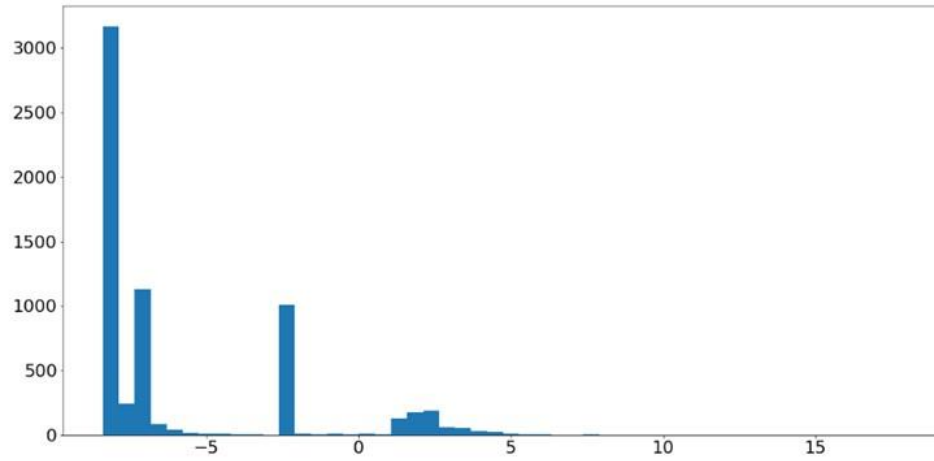


- Цільова функція:

$$j(\theta_e, \theta_d, \theta_m) = \frac{1}{N} \sum_{i=1}^N L(x_i, x_i') + \frac{\lambda_1}{N} \sum_{i=1}^N E(z_i) + \lambda_2 P(\hat{\Sigma})$$

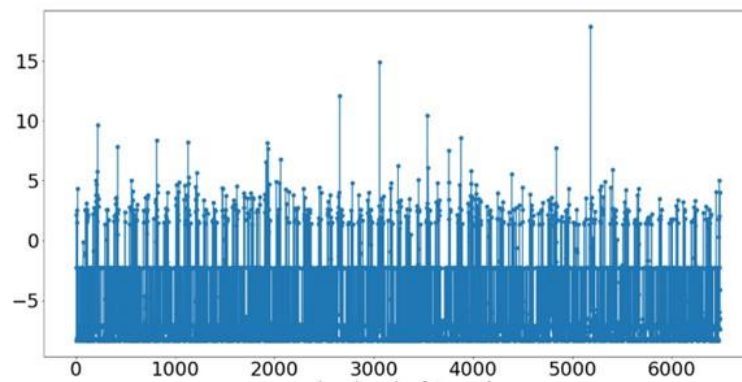
10

ГІСТОГРАМА ЕНЕРГІЇ GMLM



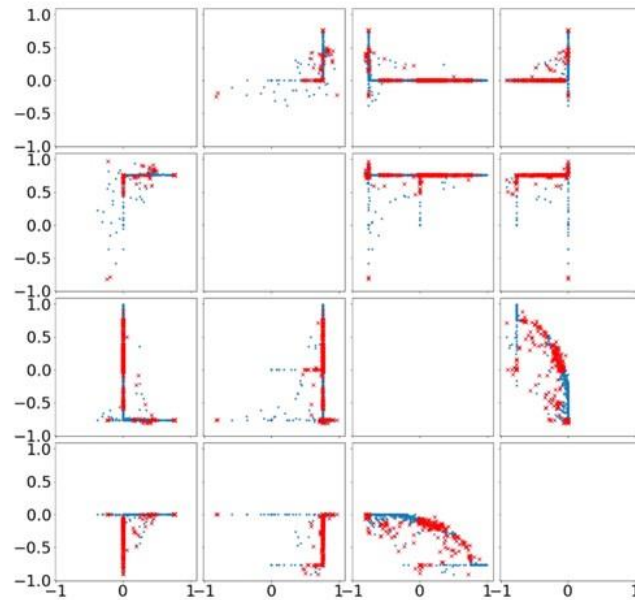
11

ЕНЕРГІЯ GMLM ДЛЯ ВСІХ ЗРАЗКІВ



12

ЕНЕРГІЯ GMLM ДЛЯ РІЗНИХ ОЗНАК



13

ПОРІВНЯННЯ ЕФЕКТИВНОСТІ МОДЕЛЕЙ. ВАЛІДАЦІЯ

2

Модель- Перцентиль	Precision, %	Аccuracy, %	F1-Score
GMLM-99%	50,63	68,47	0,034
GMLM-97%	50,5	55,1	0,068
GMLM-70%	63	65,51	0,54

1

Модель- Перцентиль	Precision, %	Аccuracy, %	F1-Score
NLP	60,32	63,88	1,27
DAGMM	64,23	71,96	0,092
LSTM	50,87	51,93	0,27
GMLM-99%	49,43	51,44	0,024
GMLM-97%	64,76	53,55	0,058
GMLM-70%	70,63	74,99	0,53

14

ВИСНОВКИ

- Запропоновано модель **GMLM** для виявлення аномалій, яка дозволяє ідентифікувати аномальні траєкторії **CAV** у режимі реального часу.
- **GMLM** складається з двох основних компонентів: **LSTM**-автокодувальника та декодера, які формують низькорівневі представлення початкових зразків, зберігаючи при цьому ключову інформацію; моделі **GMM**, здатної оцінювати енергію у зниженому вимірі простору.
- Зокрема, **LSTM**-автокодувальник дозволяє вилучати довгострокові часові залежності у даних про траєкторії **CAV**. Запропонований метод виявлення аномалій продемонстрував обнадійливі результати у цьому дослідженні. Підхід **GMLM** забезпечує підвищення правильності виявлення на 3% та точності на 6,4% порівняно з сучасними методами, що підтверджує ефективність запропонованого алгоритму.

15

ВИСНОВКИ

- Перспективи подальших досліджень.
- 1. Валідація продуктивності моделі на різноманітних реальних даних автономних транспортних засобів.
- 2. Розширення оцінювання на різноманітні реалістичні сценарії.
- 3. Удосконалення можливостей моделі щодо розрізнення різних типів аномалій, таких як короточасні імпульси, шум, поступовий дрейф тощо.
- 4. Інтеграція моделей на основі **Transformer**, що дозволить ефективно моделювати складні послідовні залежності у часових рядах.
- Підготовлена публікація: Torba A., Diachenko M., Kharakhaichuk I. «Enhancing Trustworthiness of IoT-Enabled Automated Vehicle Localization Systems».

16